

APPENDIX A: STUDIE 1 – ZUSÄTZLICHE ERGEBNISSE UND TABELLEN	249
A1. RESSOURCEN: ZUSÄTZLICHE ANGABEN	249
A1.1 Statistische Kennwerte und Verteilungseigenschaften der Einzelressourcen	249
Tabelle A1. <i>Statistische Kennwerte der Einzelressourcen (N = 156)</i>	249
A1.2 Überprüfung der Dimensionalität	249
Tabelle A2. <i>Interkorrelationen der Einzelressourcen (N = 156)</i>	250
Tabelle A3. <i>Explorative PCA der Ressourcen: Faktorladungen und Kommunalitäten (N = 156)</i>	251
Tabelle A4. <i>Vergleich verschiedener Ressourcenmodelle (N = 156)</i>	251
Tabelle A5. <i>Globale Fit-Indizes des Ressourcenmessmodells (PCA; N = 156)</i>	252
Tabelle A6. <i>Konfirmatorische PCA der Ressourcen: Faktorladungen und Kommunalitäten (N = 156)</i>	253
Abbildung A1. <i>Strukturgleichungsmodell der Ressourcen (PCA; N = 156)</i>	253
A2. STRATEGIEN DES LEBENSMANAGEMENTS (SOC): ZUSÄTZLICHE ANGABEN	254
A2.1 Statistische Kennwerte der einzelnen SOC-Items	254
Tabelle A7. <i>Statistische Kennwerte der SOC-Items (N = 156)</i>	254
A2.2 Überprüfung der Dimensionalität	255
Tabelle A8. <i>Statistische Kennwerte der SOC-Parcels (N = 156)</i>	256
Tabelle A9. <i>Interkorrelationen der SOC-Parcels (N = 156)</i>	256
Tabelle A10. <i>Explorative PCA für SOC: Faktorladungen und Kommunalitäten (N = 156)</i>	257
Tabelle A11. <i>Globale Fit-Indizes des SOC-Messmodells (N = 156)</i>	258
Tabelle A12. <i>Konfirmatorische PCA für SOC: Faktorladungen und Kommunalitäten (N = 156)</i>	258
Abbildung A2. <i>Strukturgleichungsmodell der SOC-Strategien (PCA; N = 156)</i>	259
A3. ALTERSZUFRIEDENHEIT: ZUSÄTZLICHE ANGABEN	260
A3.1 Statistische Kennwerte der einzelnen Alterszufriedenheitsitems	260
Tabelle A13. <i>Statistische Kennwerte der Alterszufriedenheitsitems (N = 156)</i>	260
A3.2 Anmerkung zur Beziehung zwischen den Items	260
Tabelle A14. <i>Interkorrelationen der Alterszufriedenheitsitems (N = 156)</i>	260
A4. WEITERE ANGABEN ZU REGRESSIONSANALYSEN (TEIL 1)	261
Tabelle A15. <i>Multipl. hierarchisches Regressionsmodell mit Ressourcen und SOC als Prädiktoren der Alterszufriedenheit (N = 156): 1. Schritt SOC-Indikatoren, 2. Schritt demographische, kognitive und soziale Ressourcen, 3. Schritt gesundheitliche Ressourcen</i>	261
Tabelle A16. <i>Multipl. hierarchisches Regressionsmodell mit Ressourcen und SOC als Prädiktoren der Alterszufriedenheit (N = 156): 1. Schritt Ressourcenindikatoren, 2. Schritt elektive Selektion, verlustbasierte Selektion und Kompensation, 3. Schritt Optimierung</i>	261
Tabelle A17. <i>Multipl. hierarchisches Regressionsmodell mit Ressourcen als Prädiktoren der Alterszufriedenheit (N = 156): 1. Schritt demographische, kognitive und soziale Ressourcen, 2. Schritt gesundheitliche Ressourcen</i>	262
Tabelle A18. <i>Multipl. hierarchisches Regressionsmodell mit Ressourcen als Prädiktoren der Alterszufriedenheit (N = 156): 1. Schritt gesundheitliche Ressourcen, 2. Schritt demographische, kognitive und soziale Ressourcen</i>	262
Tabelle A19. <i>Multipl. hierarchisches Regressionsmodell mit SOC-Strategien als Prädiktoren der Alterszufriedenheit (N = 156): 1. Schritt elektive Selektion, verlustbasierte Selektion und Kompensation, 2. Schritt Optimierung</i>	262
Tabelle A20. <i>Multipl. hierarchisches Regressionsmodell mit SOC-Strategien als Prädiktoren der Alterszufriedenheit (N = 156): 1. Schritt Optimierung, 2. Schritt elektive Selektion, verlustbasierte Selektion und Kompensation</i>	263
Tabelle A21. <i>Multipl. hierarchisches Regressionsmodell mit Ressourcen und Optimierung als Prädiktoren der Alterszufriedenheit (N = 156): 1. Schritt Ressourcenindikatoren, 2. Schritt Optimierung</i>	263
Tabelle A22. <i>Multipl. hierarchisches Regressionsmodell mit Ressourcen und SOC als Prädiktoren der Alterszufriedenheit (N = 156): 1. Schritt gesundheitliche Ressourcen, Optimierung, 2. Schritt demographische, kognitive, soziale Ressourcen, elektive Selektion, verlustbasierte Selektion und Kompensation</i>	263
Tabelle A23. <i>Hierarchisches Regressionsmodell mit elektiver Selektion, Ressourcen und ihrer Interaktion als Prädiktoren der Alterszufriedenheit (N = 156)</i>	264
Tabelle A24. <i>Hierarchisches Regressionsmodell mit Optimierung, Ressourcen und ihrer Interaktion als Prädiktoren der Alterszufriedenheit (N = 156)</i>	264
Tabelle A25. <i>Hierarchisches Regressionsmodell mit Kompensation, Ressourcen und ihrer Interaktion als Prädiktoren der Alterszufriedenheit (N = 156)</i>	264
Tabelle A26. <i>Hierarchisches Regressionsmodell mit verlustbasierter Selektion, Ressourcen und ihrer Interaktion als Prädiktoren der Alterszufriedenheit (N = 156)</i>	264
A5. KONTROLLANALYSE	265
A5.1 Kommt die Interaktion zwischen Ressourcen und Lebensmanagementstrategien zustande, weil subjektive Gesundheit Teil der Ressourcen ist?	265
Tabelle A27. <i>Hierarchisches Regressionsmodell mit um subjektive Gesundheit reduzierte Ressourcen, SOC und ihrer Interaktion als Prädiktoren der Alterszufriedenheit der alten-alten Personen (n = 76)</i>	265

A6. WEITERE ANGABEN ZU REGRESSIONSANALYSEN (TEIL 2)	266
Tabelle A28. <i>Multiplere hierarchische Regressionsmodelle zur Prüfung einer Dreifachinteraktion zwischen Ressourcen, elektiver Selektion und Altersgruppe in der Vorhersage der Alterszufriedenheit (N = 156)</i>	266
Tabelle A29. <i>Multiplere hierarchische Regressionsmodelle zur Prüfung einer Dreifachinteraktion zwischen Ressourcen, verlustbasierter Selektion und Altersgruppe in der Vorhersage der Alterszufriedenheit (N = 156)</i>	266
Tabelle A30. <i>Hierarchisches Regressionsmodell mit verlustbasierter Selektion, Ressourcen und ihrer Interaktion als Prädiktoren der Alterszufriedenheit der jungen-alten Personen (n = 80)</i>	267
Tabelle A31. <i>Hierarchisches Regressionsmodell mit verlustbasierter Selektion, Ressourcen und ihrer Interaktion als Prädiktoren der Alterszufriedenheit der alten-alten Personen (n = 76)</i>	267
Tabelle A32. <i>Multiplere hierarchische Regressionsmodelle zur Prüfung einer Dreifachinteraktion zwischen Ressourcen, Optimierung und Altersgruppe in der Vorhersage der Alterszufriedenheit (N = 156)</i>	267
Tabelle A33. <i>Hierarchisches Regressionsmodell mit Optimierung, Ressourcen und ihrer Interaktion als Prädiktoren der Alterszufriedenheit der jungen-alten Personen (n = 80)</i>	268
Tabelle A34. <i>Hierarchisches Regressionsmodell mit Optimierung, Ressourcen und ihrer Interaktion als Prädiktoren der Alterszufriedenheit der alten-alten Personen (n = 76)</i>	268
Tabelle A35. <i>Multiplere hierarchische Regressionsmodelle zur Prüfung einer Dreifachinteraktion zwischen Ressourcen, Kompensation und Altersgruppe in der Vorhersage der Alterszufriedenheit (N = 156)</i>	268

APPENDIX A

STUDIE 1 – ZUSÄTZLICHE ERGEBNISSE UND TABELLEN

A1. Ressourcen: Zusätzliche Angaben

A1.1 Statistische Kennwerte und Verteilungseigenschaften der Einzelressourcen

Tabelle A1. Statistische Kennwerte der Einzelressourcen ($N = 156$)

Variable	<i>M</i>	<i>SD</i>	Min.	Max.	Exzess	Schiefe	<i>N</i> missings /outliers
Bildungsstand	13.08	2.72	8.00	20.00	-.42	.54	0 / 1
Sozialprestige	77.45	34.70	22.70	182.65	1.00	1.03	0 / 4
Zahlen-Buchstaben	89.73	23.51	43.00	150.00	-.40	.22	4 / 0
Zahlensymboltest	33.05	10.31	10.00	65.00	.29	.39	6 / 1
Tiere nennen	24.17	7.97	5.00	48.00	.37	.20	17 / 1
Wortanfang mit S	18.96	6.63	6.00	39.00	.20	.58	16 / 1
Romberg A	4.06	1.37	1.00	6.00	.75	-1.24	1 / 0
Romberg B	3.72	1.43	1.00	6.00	-.11	-.92	1 / 0
Drehung um 360°	3.23	1.12	1.00	4.00	-.14	-1.19	4 / 0
Gesundheit A	2.65	.77	1.00	5.00	.20	-.18	0 / 0
Gesundheit B	2.74	.89	1.00	5.00	.48	.38	0 / 0
Wichtigste Partner	2.87	2.38	.00	11.00	.75	1.10	1 / 1
Gesamtnetzwerk	8.25	5.39	1.00	28.00	1.01	1.09	1 / 1
Kinder	1.48	1.17	.00	5.00	.47	.78	1 / 3

Anmerkung. Höhere Werte stehen für eine positivere Ausprägung der jeweiligen Ressource. Romberg-Versuch A: normale Kopfhaltung; B: Kopf im Nacken. Gesundheit A: aktueller; B: vergleichender Gesundheitstatus. *M*: Mittelwert; *SD*: Standardabweichung; Min.: Minimum; Max.: Maximum; *N* missings bzw. outliers: Anzahl der ersetzten fehlenden bzw. Extremwerte.

A1.2 Überprüfung der Dimensionalität

Auf der Grundlage der untersuchten Einzelindikatoren sollten zur Vereinfachung des datenanalytischen Vorgehens zusammenfassende Indikatoren gebildet werden, die die Dimensionen demographische, kognitive, gesundheitliche und soziale Ressourcen repräsentieren. Zur Absicherung dieser Indikatoren wurde die Dimensionalität bzw. die Faktorstruktur des Ressourcenkonstrukts überprüft. Vor der Untersuchung der bivariaten Relationen zwischen den einzelnen Ressourcenvariablen wurden in graphischer Analyse bedeutsame Abweichungen von der angenommenen Linearität ausgeschlossen. Die Korrelationen zwischen den einzelnen Ressourcenitems sind in Tabelle A2 wiedergegeben.

Zur Prüfung der Dimensionalität des Ressourcenkonstrukts wurden explorative und konfirmatorische Faktorenanalysen durchgeführt (vgl. Nesselroade & Baltes, 1984). Im Rahmen der *explorativen Analyse* wurden die standardisierten Ressourcenindikatoren einer Hauptkomponentenanalyse (principal component analysis; PCA) mit anschließender obliquen

Tabelle A2. *Interkorrelationen der Einzelressourcen (N = 156)*

Variable	Interkorrelationen													
	Dem. Res		Kognitive Res.				Gesundheitliche Res.				Soziale Res.			
	(1)	(2)	(3)	(4)	(5)	(6)	(7)	(8)	(9)	(10)	(11)	(12)	(13)	(14)
1. Bildungsstand	1.00													
2. Sozialprestige	.67**	1.00												
3. Zahlen-Buchst.	.21**	.23**	1.00											
4. Zahlensymbol.	.40**	.32**	.78**	1.00										
5. Tiere nennen	.36**	.21**	.44**	.44**	1.00									
6. Wortanfang S	.31**	.22**	.36**	.38**	.54**	1.00								
7. Romberg A	.16*	.15	.32**	.36**	.27**	.21**	1.00							
8. Romberg B	.20*	.15	.34**	.36**	.30**	.16*	.83**	1.00						
9. Drehung 360°	.16*	.16*	.33**	.36**	.29**	.28**	.72**	.73**	1.00					
10. Gesundheit A	.13	.12	.25**	.29**	.23**	.19*	.49**	.48**	.38**	1.00				
11. Gesundheit B	.04	.12	.08	.15	-.01	.09	.36**	.37**	.35**	.44**	1.00			
12. Wichtig. Partner	.06	-.04	.05	.07	.13	.21**	.01	.02	.08	.11	.06	1.00		
13. Gesamtnetzwerk	.07	.02	.31**	.27**	.29**	.38**	.18*	.17*	.21**	.17*	.09	.62**	1.00	
14. Kinder	.12	.07	.14	.17*	.14	.08	.14	.17*	.06	.11	.10	.32**	.19*	1.00

Anmerkung. * $p < .05$, ** $p < .01$.

Rotation (oblimin; Jennrich & Sampson, 1966) unterzogen. Wie bereits ein Scree-Test (Cattell, 1966) andeutete, ergab sich bei Wahl des Kaiser-Guttman-Kriteriums (Eigenwert > 1.00; Guttman, 1954; Kaiser & Dickmann, 1959) die folgende theoriekonforme vierfaktorielle Lösung (vgl. Tabelle A3): Der Faktor kognitive Ressourcen wurde durch die vier Wahrnehmungsgeschwindigkeits- und Wortflüssigkeitstest definiert. Erklärte in dieser PCA-Lösung mit 32.1% den höchsten Anteil der Varianz auf. Der zweite Faktor vereinigte die Primärladungen aller gesundheitlichen Ressourcenindikatoren auf sich. Durch diesen Faktor wurde ein Varianzanteil von 13.9% erklärt. Auf den dritten Faktor entfielen die höchsten Ladungen der drei sozialen Ressourcenvariablen. Sein Varianzanteil entsprach 11.9%. Der vierte Faktor wurde schließlich durch die beiden demographischen Ressourcenindikatoren identifiziert. Auf ihn entfielen 8.3% der Varianz. Damit waren die Ressourcenindikatoren jeweils einem Faktor eindeutig zugeordnet (vgl. Thurstone, 1947). Mit über .5 waren die Primärladungen alle relativ hoch (vgl. Backhaus, Erichson, Plincke & Weiber, 1996). Insgesamt erklärten die Faktoren zufriedenstellende 66.4% der Varianz.

Zur Prüfung der Stabilität der ermittelten Faktorstruktur wurden weitere Faktorenanalysen unter Verwendung alternativer Extraktionsmethoden durchgeführt (z. B. Maximum-Likelihood-, Unweighted Least Square- und General Least Square-Methode). Hierbei ergaben sich ebenfalls vierfaktorielle Lösungen, die die Faktoren demographische, kognitive, gesundheitliche und soziale Ressourcen voneinander trennten. Die Konvergenz dieser Resultate liefert nach Tabachnik und Fidell (1989) einen weiteren Hinweis darauf, dass eine stabile

Tabelle A3. *Explorative PCA der Ressourcen: Faktorladungen und Kommunalitäten (N = 156)*

Variable	Faktorladungen				h^2
	COG	GES	SOZ	DEM	
Zahlen-Buchstaben-Test	.80	-.14	-.08	-.01	.69
Zahlensymboltest	.72	-.17	-.05	.18	.69
Tiere nennen	.71	-.02	.08	.12	.58
Wortanfang mit S	.63	.03	.22	.11	.51
Romberg A	.15	-.86	-.09	-.05	.80
Romberg B	.14	-.86	-.08	-.03	.80
Drehung um 360°	.22	-.77	-.06	-.07	.69
Gesundheit A	-.31	-.68	.14	.10	.49
Gesundheit B	.01	-.67	.10	.02	.51
Wichtigste Partner	.03	.07	.90	-.09	.80
Gesamtnetzwerk	.38	-.02	.71	-.21	.72
Kinder	-.10	-.10	.56	.19	.38
Sozialprestige	.06	.00	-.07	.89	.80
Bildungsstand	.18	.05	.03	.86	.82

Anmerkung. DEM: demographische; GES: gesundheitliche; COG: kognitive; SOZ: soziale Ressourcen. Romberg A: Kopf gerade; B: Kopf im Nacken. Subjektive Gesundheit A: aktuelle; B: im temporalem Vergleich. h^2 : Kommunalitäten. Dargestellt ist die Patternmatrix.

– auch Extraktionsmethoden übergreifende – Faktorlösung vorlag. Zusätzlich wurden unter Anwendung der Maximum-Likelihood-Methode mehrere genestete Faktorenmodelle erstellt und miteinander verglichen. Zur Prüfung der Stabilität der Faktorenlösung wurden unter Verwendung der Maximum-Likelihood-Extraktion Faktorenlösungen mit weniger bzw. mehr Faktoren (z. B. mit drei oder fünf Faktoren) ermittelt und verglichen. Da es sich hierbei um eine Sequenz genesteter Modelle handelte, konnten die Reduktion der χ^2 -Werte in Relation zu den gewonnenen Freiheitsgraden als Prüfgröße verwendet werden (vgl. Byrne, 1998). Auch hier zeigte sich, dass die vierfaktorielle Lösung vorzuziehen war (vgl. Tabelle A4).

Tabelle A4. *Vergleich verschiedener Ressourcenmodelle (N = 156)*

Modelle	χ^2	df	χ^2/df	Modellvergleich		
				$\Delta \chi^2$	df	p
1-Faktor-Modell	470.99	77	6.12			
2-Faktor-Modell	271.62	64	4.24			
3-Faktor-Modell	171.79	52	3.30			
4-Faktor-Modell	71.08	41	1.73			
5-Faktor-Modell	Nicht konvergiert					
Modell 1 vs. 2				199.37	13	.00
Modell 2 vs. 3				99.83	12	.00
Modell 3 vs. 4				100.71	11	.00

Abschließend wurde eine *konfirmatorische Hauptkomponentenanalyse* (PCA) durchgeführt. Das mit LISREL (Jöreskog & Sörbom, 1993) aufgestellte Strukturgleichungsmodell zeigte einen akzeptablen Modellfit.⁹⁹ Wurde das theoretisch erwartete Vierfaktorenmodell ohne Restriktion bezüglich der Beziehungen zwischen den Indikatoren mit der die Varianz-Kovarianz-Matrix verglichen, so ergab sich zwar ein signifikanter χ^2 -Wert für dieses Modell ($\chi^2 = 111.63$, $df = 59$, $p = .00$, vgl. Tabelle A5), allerdings waren die darüber hinaus verwendeten Goodness-of-Fit Indizes zufriedenstellend. Da bekannterweise χ^2 -Statistiken stark von der Stichprobengröße abhängig sind (z. B. Browne & Cudeck, 1993; Matsueda & Bielby, 1986) und das vorliegende Sample für Strukturgleichungsmodelle eher klein war, wurden weitere Prüfstatistiken zur Beurteilung des Modells hinzugezogen. Verwendete man beispielsweise das Kriterium $\chi^2 / df < 2$ (vgl. Byrne, 1998), so lag trotz signifikantem χ^2 -Wert des Modells ein vertretbarer Fit vor. Der Root Mean Square Error of Approximation (RMSEA; Browne & Cudeck, 1993)¹⁰⁰ war mit .076 (90% CI for RMSEA 0.054 and 0.097) annehmbar. Zudem waren der Incremental Fit Index (IFI; Bollen, 1989) mit einem Wert von .93 und der Nonnormed Fit Index (NNFI; Bentler & Bonett, 1980) mit .91 akzeptabel.¹⁰¹

Tabelle A5. *Globale Fit-Indizes des Ressourcenmessmodells (PCA; N = 156)*

	χ^2	df	p	χ^2 / df	RMSEA	IFI	NNFI	CFI	GFI
Model	111.63	59	.00	1.89	.076	.93	.91	.93	.90

Bei der Betrachtung der einzelnen Faktorladungen und ihrer Beurteilung auf statistische Bedeutsamkeit wurde deutlich, dass alle Indikatoren eine signifikante Beziehung zu den ihnen theoretisch zugeordneten Faktoren aufwiesen (Minimum: $t = 3.49$ bzw. Maximum: $t = 14.31$; siehe Tabelle A6). Die Standardfehler der Schätzung waren akzeptabel (.06 bis .16), was eine relativ stabile Schätzung indizierte. Die Kommunalitäten hingegen variierten stark und lagen zwischen .18 und .83. Das vollständige Modell findet sich in Abbildung A1.

⁹⁹ Wurden die Indikatoren Wichtigste Partner und Gesamtnetzwerk neben Anzahl der Kinder als einzelne Indikatoren der sozialen Ressourcen im Modell verwendet, so entstanden für die Variable Gesamtanzahl der Netzwerkpartner eine negative Varianz. Es ist zu vermuten, daß dies auf die erhöhten Werte für Schiefe und Exzess der beiden Netzwerkvariablen zurückzuführen ist, da das Weglassen jeweils einer der Variablen dasselbe Ergebnis erzielte. Im vorliegenden Modell wurden daher beide Netzwerkvariablen zusammengefasst.

¹⁰⁰ Der RMSEA beschreibt die durchschnittliche Abweichung von Elementen zwischen Datensatz und angenommener Kovarianzmatrize. Seine Werte liegen zwischen 0 und 1, wobei geringere Werte eine bessere Modellpassung indizieren. Der RMSEA sollte kleiner oder gleich .08 sein (Browne & Cudeck, 1993).

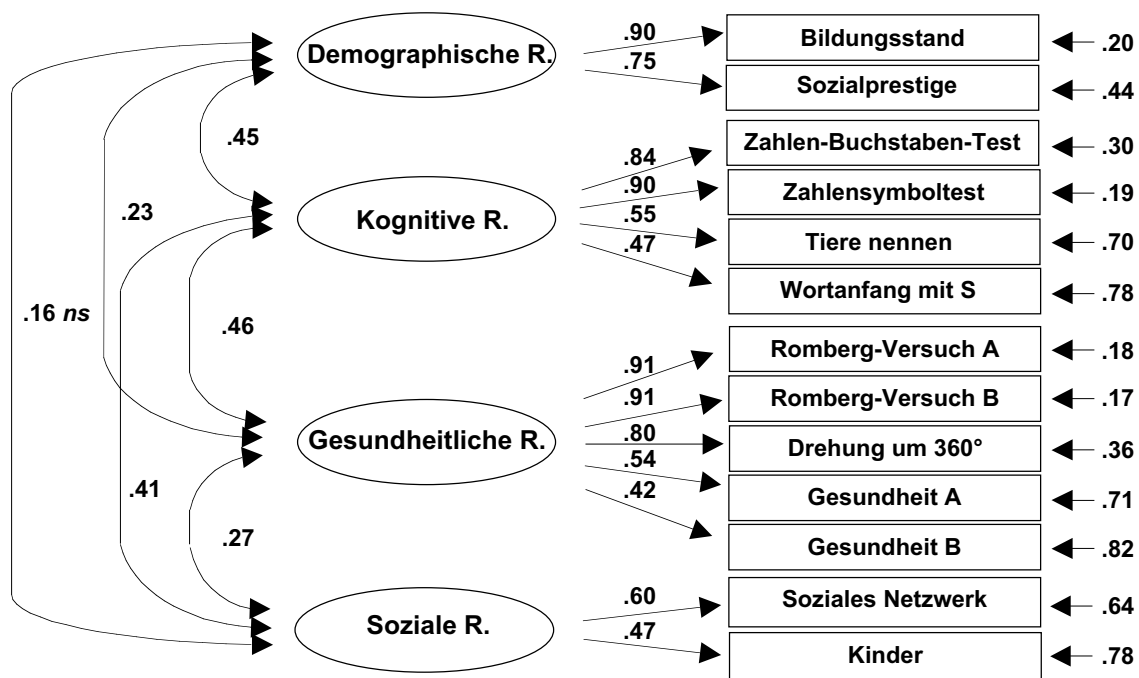
¹⁰¹ NNFI und IFI gehören zur Gruppe der inkrementellen (oder auch relativen) Goodness-of-Fit-Indizes (vgl. Hu & Bentler, 1995). Sie basieren auf dem Vergleich des hypothetischen Modells mit einem gewählten Standard. Der NNFI berücksichtigt beim Vergleich des hypothetischen mit dem unabhängigen Modell die Komplexität des Modells. Um die Stichprobengröße ebenfalls in die Bewertung mit einzubeziehen, werden bei der Berechnung des IFI zusätzlich die Freiheitsgrade des Modells einbezogen. Beide sollten den Wert von .90 übersteigen, um eine adäquaten Modellfit zu signalisieren (Bentler & Bonett, 1980; Bollen, 1989).

Tabelle A6. Konfirmatorische PCA der Ressourcen: Faktorladungen und Kommunalitäten ($N = 156$)

Variable	Unstandardisierte Faktorladungen (t , se)				h^2
	DEM	COG	GES	SOZ	
Bildungsstand	.90 ($t = 8.88, se = .10$)				.80
Sozialprestige	.75 ($t = 7.84, se = .10$)				.56
Zahlen-Buchstab.		.84 ($t = 11.96, se = .07$)			.70
Zahlensymboltest		.90 ($t = 13.25, se = .07$)			.81
Tiere nennen		.55 ($t = 6.99, se = .08$)			.30
Wörter mit S		.47 ($t = 5.91, se = .08$)			.22
Romberg A			.91 ($t = 14.22, se = .06$)		.82
Romberg B			.91 ($t = 14.31, se = .06$)		.83
Drehung um 360°			.80 ($t = 11.71, se = .07$)		.64
Gesundheit A			.54 ($t = 7.03, se = .08$)		.29
Gesundheit B			.42 ($t = 5.26, se = .08$)		.18
Soz. Netzwerk				.60 ($t = 3.76, se = .16$)	.36
Kinder				.47 ($t = 3.49, se = .13$)	.22

Anmerkung. DEM: demographische; COG: kognitive; GES: gesundheitliche; SOZ: soziale Ressourcen. Romberg A: normale Kopfposition; B: Kopf im Nacken. Gesundheit A: aktueller Gesundheitsstatus; B: vergleichender Gesundheitsstatus. h^2 : Kommunalitäten.

Zusammenfassend bestätigten die explorativen und konfirmatorischen Faktorenanalysen die theoretisch angenommene Dimensionalität des Ressourcenkonstrukts. Demographische, kognitive, gesundheitliche und soziale Ressourcen stellten getrennte Dimensionen dar.



Modellfit: $\chi^2 = 111.63, df = 59, p = .00004, RMSEA = .076$.

Abbildung A1. Strukturgleichungsmodell der Ressourcen (PCA; $N = 156$).

A2. Strategien des Lebensmanagements (SOC): Zusätzliche Angaben

A2.1 Statistische Kennwerte der einzelnen SOC-Items

Tabelle A7. *Statistische Kennwerte der SOC-Items (N = 156)*

Variable	<i>M</i> ^a	<i>SD</i>	Min.	Max.	<i>N</i> missings /outliers
A_ELS_01	.51	.50	.00	1.00	0 / 0
A_ELS_02	.72	.45	.00	1.00	2 / 0
A_ELS_03	.43	.50	.00	1.00	1 / 0
A_ELS_04	.58	.50	.00	1.00	0 / 0
A_ELS_05	.81	.40	.00	1.00	0 / 0
A_ELS_06	.70	.46	.00	1.00	0 / 0
A_ELS_07	.56	.50	.00	1.00	0 / 0
A_ELS_08	.86	.35	.00	1.00	2 / 0
A_ELS_09	.45	.50	.00	1.00	0 / 0
A_ELS_10	.54	.50	.00	1.00	0 / 0
A_ELS_11	.63	.48	.00	1.00	0 / 0
A_ELS_12	.24	.43	.00	1.00	0 / 0
A_LBS_01	.50	.50	.00	1.00	0 / 0
A_LBS_02	.61	.49	.00	1.00	3 / 0
A_LBS_03	.52	.50	.00	1.00	0 / 0
A_LBS_04	.82	.38	.00	1.00	0 / 0
A_LBS_05	.62	.49	.00	1.00	0 / 0
A_LBS_06	.60	.49	.00	1.00	1 / 0
A_LBS_07	.71	.46	.00	1.00	0 / 0
A_LBS_08	.72	.45	.00	1.00	0 / 0
A_LBS_09	.73	.44	.00	1.00	0 / 0
A_LBS_10	.78	.41	.00	1.00	0 / 0
A_LBS_11	.63	.48	.00	1.00	0 / 0
A_LBS_12	.63	.48	.00	1.00	0 / 0
A_OPT_01	.72	.45	.00	1.00	0 / 0
A_OPT_02	.60	.49	.00	1.00	0 / 0
A_OPT_03	.78	.41	.00	1.00	0 / 0
A_OPT_04	.67	.47	.00	1.00	0 / 0
A_OPT_05	.54	.50	.00	1.00	2 / 0
A_OPT_06	.60	.49	.00	1.00	0 / 0
A_OPT_07	.68	.47	.00	1.00	1 / 0
A_OPT_08	.41	.49	.00	1.00	0 / 0
A_OPT_09	.37	.48	.00	1.00	0 / 0
A_OPT_10	.64	.48	.00	1.00	0 / 0
A_OPT_11	.69	.46	.00	1.00	0 / 0
A_OPT_12	.70	.46	.00	1.00	0 / 0
A_COM_01	.48	.50	.00	1.00	0 / 0
A_COM_02	.74	.44	.00	1.00	0 / 0
A_COM_03	.70	.46	.00	1.00	1 / 0
A_COM_04	.56	.50	.00	1.00	1 / 0
A_COM_05	.48	.50	.00	1.00	1 / 0

(Fortsetzung siehe folgende Seite)

Tabelle A7. *Statistische Kennwerte der SOC-Items (N = 156) (Fortsetzung)*

Variable	<i>M</i> ^a	<i>SD</i>	Min.	Max.	<i>N</i> missings /outliers
A_COM_06	.60	.49	.00	1.00	0 / 0
A_COM_07	.56	.50	.00	1.00	0 / 0
A_COM_08	.69	.47	.00	1.00	0 / 0
A_COM_09	.53	.50	.00	1.00	0 / 0
A_COM_10	.81	.40	.00	1.00	0 / 0
A_COM_11	.70	.46	.00	1.00	0 / 0
A_COM_12	.62	.49	.00	1.00	0 / 0

Anmerkung. ^a Da es sich hierbei um dichotome Items handelt, entsprechen die Angaben zum Mittelwert $\times 100$ der Prozentangabe zur durchschnittlichen Zustimmung zum SOC-Targetitem. A: Studie 1; ELS: elektive Selektion; LBS: verlustbasierte Selektion; OPT: Optimierung; COM: Kompensation; Zahlen identifizieren das entsprechende SOC-Item je Subskala. Min.: Minimum; Max.: Maximum; *N* missings bzw. outliers: Anzahl der ersetzten fehlenden bzw. Extremwerte.

A2.2 Überprüfung der Dimensionalität

Bei dem SOC-Fragebogen (P. Baltes et al., 1999) handelt es sich aufgrund zahlreicher empirischer Überprüfungen um ein etabliertes Meßinstrument, dessen zugrunde liegende Faktorstruktur bereits anhand von Lebensspannenstichproben untersucht wurde (vgl. Freund & Baltes, 2001). Da in der vorliegenden Studie ausschließlich Personen des hohen und sehr hohen Erwachsenenalter untersucht wurden, schien es ratsam, für diese spezielle Stichprobe eine Überprüfung der Dimensionalität bzw. der Faktorstruktur vorzunehmen.

Zur Vorbereitung der explorativen Faktorenanalysen wurden per Zufall jeweils vier der dichotomen SOC-Items einer Subskala durch Aufsummierung zu einem sogenannten Parcel kombiniert, um die Anzahl der in die Analyse eingehende Indikatoren zu reduzieren (z. B. Little, Oettingen & Baltes, 1995).¹⁰² Analog zum Vorgehen von Freund und Baltes (im Druck) wurde jede Subskala durch drei solcher Summenparcels repräsentiert.

Die Bildung zusammenfassender Parcelindikatoren hat eine Reihe methodischer Vorzüge. Diese Itemaggregate besitzen nach Kishton und Widaman (1994) bessere Verteilungseigenschaften und dienen der Minimierung systematischer Verzerrungen. Darüber hinaus zeichnen sich die Parcels typischerweise durch eine größere Reliabilität aus, sodass der Zusammenhang zwischen manifesten Indikatoren und latenten Konstrukten zunimmt (Marsh, Antill & Cunningham, 1989). Entsprechend argumentieren Bernstein und Teng (1989), dass Parcels in explorativen Faktoranalysen zu bevorzugen seien, weil die Verwendung von Einzelitems zu einer artifiziell erhöhten Anzahl an extrahierten Faktoren führen kann.

Vor Erstellung der Pearson-Produkt-Moment-Korrelationen zur Beschreibung der

¹⁰² Dies ermöglichte zudem die konfirmatorischen Analysen auf Basis einer Kovarianzmatrix anstelle einer polychorischen Korrelationsmatrix durchzuführen, was zahlreiche Vorteile hat (vgl. Byrne, 1998).

Beziehungen zwischen den Parcels wurden diese mit Hilfe von Scatterplots einer graphischen Itemanalyse unterzogen. Diese Prüfung zeigte keine bedeutsame Abweichung von der Linearität. Die Schiefe lag zwischen .03 und $-.59$. Der Exzess lag zwischen $-.28$ und $-.78$ (vgl. Tabelle A8). Die Interkorrelationen der Parcels sind in Tabelle A9 wiedergegeben.

Tabelle A8. *Statistische Kennwerte der SOC-Parcels (N = 156)*

Variable	M	SD	Min.	Max.	Exzess	Schiefe
A_ELS_P1 (ELS 5, 6, 10, 11)	2.68	1.06	.00	4.00	-.43	-.55
A_ELS_P2 (ELS 4, 7, 8, 9)	2.44	1.04	.00	4.00	-.45	-.38
A_ELS_P3 (ELS 1, 2, 3, 12)	1.91	1.09	.00	4.00	-.57	.03
A_LBS_P1 (LBS 2, 5, 8, 11)	2.58	1.06	.00	4.00	-.60	-.39
A_LBS_P2 (LBS 3, 4, 7, 9)	2.78	1.04	.00	4.00	-.78	-.36
A_LBS_P3 (LBS 1, 6, 10, 12)	2.51	1.03	.00	4.00	-.67	-.36
A_OPT_P1 (OPT 4, 6, 10, 12)	2.61	1.01	.00	4.00	-.71	-.19
A_OPT_P2 (OPT 1, 2, 8, 9)	2.10	1.11	.00	4.00	-.67	-.31
A_OPT_P3 (OPT 3, 5, 7, 11)	2.70	.97	.00	4.00	-.28	-.53
A_COM_P1 (COM 3, 4, 6, 7)	2.42	1.09	.00	4.00	-.60	-.28
A_COM_P2 (COM 1, 5, 8, 9)	2.18	1.10	.00	4.00	-.48	-.30
A_COM_P3 (COM 2, 10, 11, 12)	2.87	1.03	.00	4.00	-.48	-.59

Anmerkung. Parcels bestehen aus Summenwerten der in Klammer aufgeführten Einzelitems. A: Studie 1; ELS: elektive Selektion; LBS: verlustbasierte Selektion, OPT: Optimierung; COM: Kompensation. Min.: Minimum; Max.: Maximum.

Tabelle A9. *Interkorrelationen der SOC-Parcels (N = 156)*

Parcel	Interkorrelationen											
	Elektive S.			Verlustbasierte S.			Optimierung			Kompensation		
	(1)	(2)	(3)	(4)	(5)	(6)	(7)	(8)	(9)	(10)	(11)	(12)
1. A_ELS_P1	1.00											
2. A_ELS_P2	.35**	1.00										
3. A_ELS_P3	.37**	.44**	1.00									
4. A_LBS_P1	.11	.20*	.18*	1.00								
5. A_LBS_P2	.17*	.14	.19*	.29**	1.00							
6. A_LBS_P3	.14	.15	.16*	.35**	.37**	1.00						
7. A_OPT_P1	.20*	.06	.11	.31**	.35**	.40**	1.00					
8. A_OPT_P2	.22**	.23**	.20*	.32**	.32**	.24**	.38**	1.00				
9. A_OPT_P3	.21**	.15	.16*	.23**	.17*	.17*	.30**	.38**	1.00			
10. A_COM_P1	.18*	.19*	.16*	.32**	.33**	.36**	.27**	.32**	.30**	1.00		
11. A_COM_P2	.13	.18*	.10	.38**	.20*	.35**	.23**	.34**	.16*	.46**	1.00	
12. A_COM_P3	.04	-.05	-.02	.30**	.17*	.30**	.32**	.24**	.12	.46**	.37**	1.00

Anmerkung. A: Studie 1; ELS: elektive Selektion; LBS: verlustbasierte Selektion; OPT: Optimierung; COM: Kompensation. P1-P3 Parcelkennung (Zusammensetzung siehe Tabelle A8). * $p < .05$, ** $p < .01$.

Im Rahmen der *explorativen Faktorenanalyse* wurde eine Hauptkomponentenanalyse (PCA) mit anschließender obliquen Rotation (oblimin; Jennrich & Sampson, 1966) durchgeführt. Hier bot die Untersuchung des Scree-Plots theoriekonform eine Lösung mit vier

Faktoren an. Die nach Verwendung des Kaiser-Guttman-Kriteriums zur Faktorextraktion resultierende Faktorlösung zeigte, dass die Primärladungen der Parcels der elektiven Selektion und Kompensation auf zwei getrennten Faktoren lokalisiert waren (vgl. Tabelle A10). Der Faktor Kompensation erklärte mit 31.1% den höchsten Varianzanteil, gefolgt vom Faktor elektive Selektion mit 12.9%. Zwei Parcels der Skala Optimierung bildeten den dritten Faktor, der weitere 8.5% Varianz auf sich vereinte. Der vierte Faktor trug weitere 7.6% zur Varianzaufklärung bei. Er bestand aus den drei Parcels der Skala verlustbasierte Selektion sowie dem dritten Optimierungsparcel. Insgesamt erklärten die Faktoren 60.2% der Varianz.

Das letzterwähnte Optimierungsparcel war der einzige Indikator, der nicht erwartungsgemäß lud und dessen Primärladung anstatt auf dem Optimierungsfaktor auf dem Faktor der verlustbasierten Selektion lokalisiert war. Betrachtet man allerdings die Ladung, die auf dem theoretisch zugeordneten Optimierungsfaktor bestand, so war die Höhe beider Ladungen nicht sehr unterschiedlich. Aufgrund der geringen Ladungsdifferenz konnte angenommen werden, dass die Ergebnisse dieser explorativen Analyse durch die bestehenden Interkorrelationen verzerrt wurden. Ob dieses Optimierungsparcel tatsächlich einen ungenügenden Repräsentanten der Optimierung darstellte, wurde daher in konfirmatorischen Analysen geprüft.

Tabelle A10. *Explorative PCA für SOC: Faktorladungen und Kommunalitäten (N = 156)*

Parcel	Faktorladungen				h^2
	COM	ELS	OPT	LBS	
COM_P2	.80	.13	.05	.03	.65
COM_P3	.75	-.27	-.07	-.03	.63
COM_P1	.71	.10	-.14	-.03	.62
ELS_P2	.10	.81	.04	.04	.66
ELS_P3	-.07	.77	.03	-.13	.62
ELS_P1	-.03	.55	-.33	.02	.47
OPT_P3	.05	.03	-.84	.05	.71
OPT_P2	.19	.11	-.58	-.15	.56
LBS_P2	-.10	.07	-.05	-.79	.62
LBS_P3	.19	.04	.17	-.73	.64
OPT_P1	-.01	-.17	-.41	-.60	.63
LBS_P1	.37	.13	.02	-.38	.43

Anmerkung. ELS: elektive Selektion; LBS: verlustbasierte Selektion; OPT: Optimierung; COM: Kompensation. P1–P3 entspricht dem jeweiligen Parcel (Zusammenstellung, siehe Tabelle A8).

Abschließend wurde eine *konfirmatorische Hauptkomponentenanalyse* durchgeführt. Das mit LISREL (Jöreskog & Sörbom, 1993) erstellte Strukturgleichungsmodell wies für das

vollstandardisierte Vierfaktorenmodell einen akzeptablen Fit auf ($\chi^2 = 47.24$, $df = 48$, $p = .50$; RMSEA = .00, 90% CI for RMSEA 0.00 and 0.051, siehe Tabelle A11).

Tabelle A11. *Globale Fit-Indizes des SOC-Messmodells (N = 156)*

	χ^2	df	p	χ^2/df	RMSEA	IFI	NNFI	CFI	GFI
Model	47.24	48	.50	.99	.00	1.00	1.00	1.00	.95

In diesem Modell lagen alle den Faktorladungen zugehörigen t-Werte zwischen 5.56 und 9.07, was darauf verwies, dass die geschätzten Parameter signifikant von Null verschieden waren und somit bedeutsame Beiträge zum Gesamtmodell leisteten. Die Standardfehler der Schätzung war relativ klein (zwischen .08 und .10), was auf eine stabile Schätzung der Parameter hinwies. Die Kommunalitäten lagen zwischen .28 und .56. Tabelle A12 gibt die unstandardisierten Faktorladungen und die Kommunalitäten des Modells wider.

Tabelle A12. *Konfirmatorische PCA für SOC: Faktorladungen und Kommunalitäten (N = 156)*

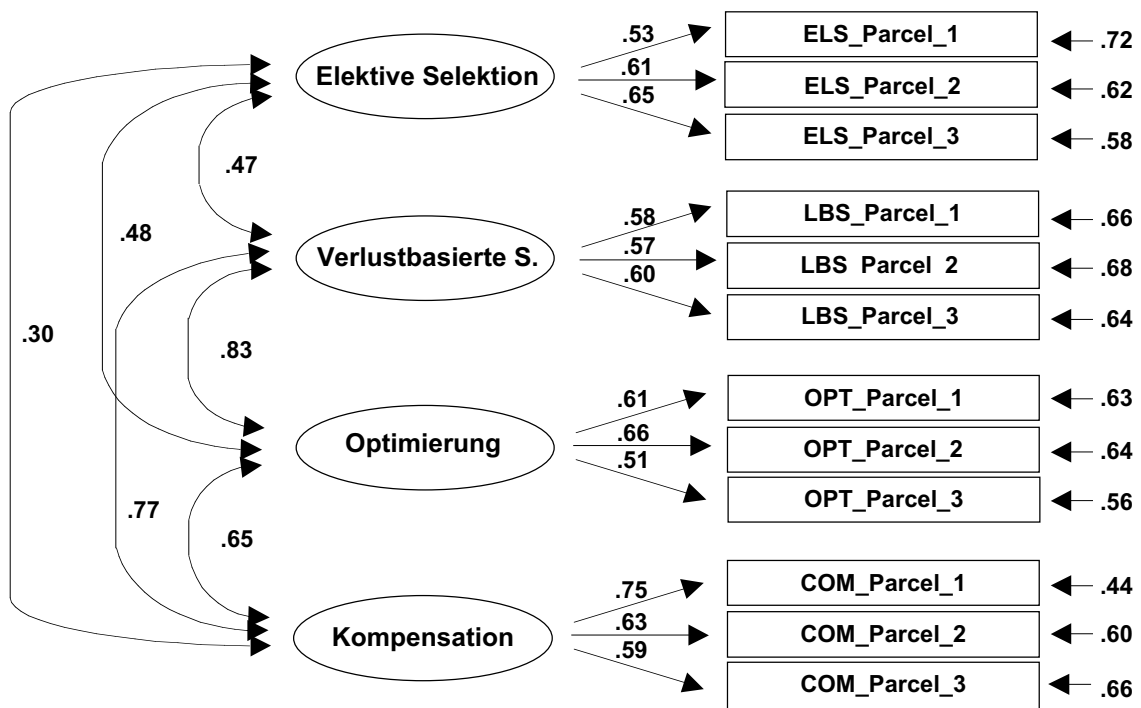
Variable	Unstandardisierte Faktorladungen (t , se)				h^2
	ELS	LBS	OPT	COM	
ELS_P1	.53 ($t = 5.56$, $se = .10$)				.28
ELS_P2	.61 ($t = 6.30$, $se = .10$)				.38
ELS_P3	.65 ($t = 6.57$, $se = .10$)				.42
LBS_P1		.58 ($t = 6.80$, $se = .09$)			.34
LBS_P2		.57 ($t = 6.63$, $se = .09$)			.32
LBS_P3		.60 ($t = 7.05$, $se = .09$)			.36
OPT_P1			.61 ($t = 7.06$, $se = .09$)		.37
OPT_P2			.66 ($t = 7.65$, $se = .09$)		.44
OPT_P3			.51 ($t = 5.78$, $se = .09$)		.26
COM_P1				.75 ($t = 9.07$, $se = .08$)	.56
COM_P2				.63 ($t = 7.50$, $se = .08$)	.40
COM_P3				.59 ($t = 6.91$, $se = .08$)	.34

Anmerkung. ELS: Elektive Selektion; LBS: Verlustbasierte Selektion; OPT: Optimierung; COM: Kompensation. Die den Parcels (P1–P3) jeweils zugrundeliegenden Fragebogenitems können Tabelle A8 entnommen werden. h^2 : Kommunalitäten.

Die Korrelationen zwischen den latenten Faktoren waren zwischen elektiver Selektion und Kompensation am geringsten ($r = .30$) und zwischen verlustbasierter Selektion und Optimierung ($r = .83$) am höchsten (vgl. Abbildung A2). Auch in der von Freund und Baltes (im Druck) für ein Lebensspannensample berichteten konfirmatorischen PCA-Lösung bestand die höchste Beziehung zwischen verlustbasierter Selektion und Optimierung (ebenfalls $r = .83$). Aufgrund dieser relativ hohen Korrelation wurde in einem weiteren Strukturgleichungsmodell geprüft, ob verlustbasierte Selektion und Optimierung tatsächlich getrennte Faktoren

darstellten, indem beide gleichgesetzt wurden. Da sich der Modellfit im Vergleich zum ersten Modell signifikant verschlechterte,¹⁰³ bestätigte sich die Annahme, dass das Vierfaktorenmodell die vorliegende Datenstruktur besser beschrieb als eine dreifaktorielle Lösung. Damit konnte von vier getrennten SOC-Dimensionen ausgegangen werden.

Zusammenfassend bestätigten die Ergebnisse der explorativen und konfirmatorischen Faktorenanalysen auch für die SOC-Lebensmanagementstrategien die theoretisch erwarteten separaten Dimensionen von elektiver Selektion, verlustbasierter Selektion, Optimierung und Kompensation für den vorliegenden Datensatz.



Modellfit: $\chi^2 = 47.24$, $df = 48$, $p = .50$, RMSEA = .00.

Abbildung A2. Strukturgleichungsmodell der SOC-Strategien (PCA; $N = 156$).

¹⁰³ Da es sich hierbei um die Testung eines theoretisch etablierten Modells handelt wurde das Signifikanzniveau auf $p = .10$ festgesetzt. Beim Vergleich der beiden genesteten Modell kam es zu einem Anstieg des χ^2 -Wertes gegenüber dem ursprünglichen Modells um $\chi^2_{(1)} = 3.67$ ($p = .055$). Somit zeigte das Modell, in dem die Beziehung zwischen verlustbasierter Selektion und Optimierung auf 1 gesetzt worden war, eine deutlich schlechtere Passung zwischen Modell und Datensatz im Vergleich zum Vierfaktorenmodell.

A3. Alterszufriedenheit: Zusätzliche Angaben

A3.1 Statistische Kennwerte der einzelnen Alterszufriedenheitsitems

Tabelle A13. *Statistische Kennwerte der Alterszufriedenheitsitems (N = 156)*

Variable	<i>M</i>	<i>SD</i>	Min.	Max.	Exzess	Schiefe	<i>N</i> missings /outliers
Item 1	3.94	1.12	1.00	5.00	-.24	-.77	2 / 0
Item 2	2.94	1.17	1.00	5.00	-.89	-.07	0 / 0
Item 3	3.74	1.09	1.00	5.00	-.88	-.28	2 / 0
Item 4	3.07	1.17	1.00	5.00	-.83	-.41	1 / 0
Item 5	2.92	1.18	1.00	5.00	-.73	.03	0 / 0
Alterszufriedenh.	3.32	.72	1.40	4.60	-.29	-.43	0 / 0

Anmerkung. Alterszufriedenh.: Mittelwert aller Alterszufriedenheitsitems (Rohwerte); *M*: Mittelwert; *SD*: Standardabweichung; Min.: Minimum; Max.: Maximum; *N* missings bzw. outliers: Anzahl der ersetzten fehlenden bzw. Extremwerte.

A3.2 Anmerkung zur Beziehung zwischen den Items

Die korrelativen Beziehungen zwischen den einzelnen Items zeigten, dass das Item 4 etwas aus dem Muster signifikant positiver Beziehungen herausfiel und nur zu zwei anderen Items hoch positive Relationen aufwies (vgl. Tabelle A14). Es handelte sich um das Item „Mit zunehmendem Alter ist mein Leben besser, als ich erwartet habe“. Da Alterszufriedenheit ein eher heterogenes Konstrukt darstellt (vgl. Liang & Bollen, 1983), wurde die Entscheidung getroffen, dieses Item trotzdem in der Skala zu belassen.

Tabelle A14. *Interkorrelationen der Alterszufriedenheitsitems (N = 156)*

Variable	Interkorrelationen			
	(1)	(2)	(3)	(4)
1. Item 1	1.00			
2. Item 2	.29**	1.00		
3. Item 3	.20*	.20**	1.00	
4. Item 4	.11	.29**	.05	1.00
5. Item 5	.30**	.27**	.24**	.39**

Anmerkung. * $p < .05$, ** $p < .01$.

Die Skala Alterszufriedenheit ist Teil der Philadelphia Geriatric Center Morale Scale, einem etablierten Instrument, das insbesondere hinsichtlich seiner faktoriellen Eigenschaften in vergleichbaren Altersgruppen vielfach untersucht wurde (vgl. Liang & Bollen, 1983; Smith et al., 1996, 1999). Infolgedessen wurde auf explorative und konfirmatorische Faktorenanalysen verzichtet.

A4. Weitere Angaben zu Regressionsanalysen (Teil 1)

Tabelle A15. *Multiples hierarchisches Regressionsmodell mit Ressourcen und SOC als Prädiktoren der Alterszufriedenheit (N = 156): 1. Schritt SOC-Indikatoren, 2. Schritt demographische, kognitive und soziale Ressourcen, 3. Schritt gesundheitliche Ressourcen*

Prädiktor	$R^2 / \Delta R^2$	$F / \Delta F$	B	SE_B	β	p
Step 1	.08	3.19				.02
Elektive S.			.02	.08	.05	.43
Verlustbasierte S.			.02	.03	.08	.39
Optimierung			.06	.03	.21	.02
Kompensation			-.04	.03	-.14	.10
Step 2	.03	1.47				.22
Demographische R.			-.03	.06	-.03	.67
Kognitive R.			.01	.08	.02	.86
Soziale R.			-.01	.08	-.01	.86
Step 3	.15	30.55				.00
Gesundheitliche R.			.40	.07	.43	.00
Gesamtmodell	Cum $R^2 = .26$	$F_{(8,147)} = 6.41$			$p = .00$	

Anmerkung. $R^2 / \Delta R^2$: Determinationskoeffizient bzw. seine Veränderung; $F / \Delta F$: zugehöriger F -Test; B : unstandardisierter Regressionskoeffizient; SE_B : zugehöriger Standardfehler; β : standardisierter Regressionskoeffizient simultaner Analyse; p : exaktes Signifikanzniveau.

Tabelle A16. *Multiples hierarchisches Regressionsmodell mit Ressourcen und SOC als Prädiktoren der Alterszufriedenheit (N = 156): 1. Schritt Ressourcenindikatoren, 2. Schritt elektive Selektion, verlustbasierte Selektion und Kompensation, 3. Schritt Optimierung*

Prädiktor	$R^2 / \Delta R^2$	$F / \Delta F$	B	SE_B	β	p
Step 1	.20	9.62				.00
Demographische R.			-.03	.06	-.03	.67
Kognitive R.			.01	.08	.02	.86
Gesundheitliche R.			.40	.07	.43	.00
Soziale R.			-.01	.08	-.01	.86
Step 2	.03	1.91				.13
Elektive S.			.02	.08	.05	.49
Verlustbasierte S.			.02	.03	.08	.39
Kompensation			-.04	.03	-.14	.11
Step 3	.03	5.14				.02
Optimierung			.06	.03	.21	.02
Gesamtmodell	Cum $R^2 = .26$	$F_{(5,150)} = 10.41$			$p = .00$	

Anmerkung. $R^2 / \Delta R^2$: Determinationskoeffizient bzw. seine Veränderung; $F / \Delta F$: zugehöriger F -Test; B : unstandardisierter Regressionskoeffizient; SE_B : zugehöriger Standardfehler; β : standardisierter Regressionskoeffizient simultaner Analyse; p : exaktes Signifikanzniveau.

Tabelle A17. *Multiplere hierarchisches Regressionsmodell mit Ressourcen als Prädiktoren der Alterszufriedenheit (N = 156): 1. Schritt demographische, kognitive und soziale Ressourcen, 2. Schritt gesundheitliche Ressourcen*

Prädiktor	$R^2 / \Delta R^2$	$F / \Delta F$	B	SE_B	β	p
Step 1	.04	1.93				.13
Demographische R.			-.01	.06	-.01	.92
Kognitive R.			-.02	.08	-.02	.82
Soziale R.			.05	.07	.06	.45
Step 2	.17	31.53				.00
Gesundheitliche R.			.41	.07	.45	.00
Gesamtmodell	Cum $R^2 = .20$	$F_{(4,151)} = 9.62$	$p = .00$			

Anmerkung. $R^2 / \Delta R^2$: Determinationskoeffizient bzw. seine Veränderung; $F / \Delta F$: zugehöriger F -Test; B : unstandardisierter Regressionskoeffizient; SE_B : zugehöriger Standardfehler; β : standardisierter Regressionskoeffizient simultaner Analyse; p : exaktes Signifikanzniveau.

Tabelle A18. *Multiplere hierarchisches Regressionsmodell mit Ressourcen als Prädiktoren der Alterszufriedenheit (N = 156): 1. Schritt gesundheitliche Ressourcen, 2. Schritt demographische, kognitive und soziale Ressourcen*

Prädiktor	$R^2 / \Delta R^2$	$F / \Delta F$	B	SE_B	β	p
Step 1	.20	38.50				.13
Gesundheitliche R.			.41	.07	.45	.00
Step 2	.00	.20				.90
Demographische R.			-.01	.06	-.01	.92
Kognitive R.			-.02	.08	-.02	.82
Soziale R.			.05	.07	.06	.45
Gesamtmodell	Cum $R^2 = .20$	$F_{(4,151)} = 9.62$	$p = .00$			

Anmerkung. $R^2 / \Delta R^2$: Determinationskoeffizient bzw. seine Veränderung; $F / \Delta F$: zugehöriger F -Test; B : unstandardisierter Regressionskoeffizient; SE_B : zugehöriger Standardfehler; β : standardisierter Regressionskoeffizient simultaner Analyse; p : exaktes Signifikanzniveau.

Tabelle A19. *Multiplere hierarchisches Regressionsmodell mit SOC-Strategien als Prädiktoren der Alterszufriedenheit (N = 156): 1. Schritt elektive Selektion, verlustbasierte Selektion und Kompensation, 2. Schritt Optimierung*

Prädiktor	$R^2 / \Delta R^2$	$F / \Delta F$	B	SE_B	β	p
Step 1	.04	1.83				.14
Elektive S.			.00	.02	.00	.98
Verlustbasierte S.			.03	.03	.10	.30
Kompensation			.08	-.03	-.11	.26
Step 2	.04	7.02				.009
Optimierung			-.03	.03	.25	.009
Gesamtmodell	Cum $R^2 = .08$	$F_{(4,151)} = 3.19$	$p = .015$			

Anmerkung. $R^2 / \Delta R^2$: Determinationskoeffizient bzw. seine Veränderung; $F / \Delta F$: zugehöriger F -Test; B : unstandardisierter Regressionskoeffizient; SE_B : zugehöriger Standardfehler; β : standardisierter Regressionskoeffizient simultaner Analyse; p : exaktes Signifikanzniveau.

Tabelle A20. *Multiplere hierarchisches Regressionsmodell mit SOC-Strategien als Prädiktoren der Alterszufriedenheit (N = 156): 1. Schritt Optimierung, 2. Schritt elektive Selektion, verlustbasierte Selektion und Kompensation*

Prädiktor	$R^2 / \Delta R^2$	$F / \Delta F$	B	SE_B	β	p
Step 1	.07	11.07				.001
Optimierung			-.03	.03	.25	.009
Step 2	.01	.59				.62
Elektive S.			.00	.02	.00	.98
Verlustbasierte S.			.03	.03	.10	.30
Kompensation			.08	-.03	-.11	.26
Gesamtmodell	Cum $R^2 = .08$	$F_{(4, 151)} = 3.19$	$p = .015$			

Anmerkung. $R^2 / \Delta R^2$: Determinationskoeffizient bzw. seine Veränderung; $F / \Delta F$: zugehöriger F -Test; B : unstandardisierter Regressionskoeffizient; SE_B : zugehöriger Standardfehler; β : standardisierter Regressionskoeffizient simultaner Analyse; p : exaktes Signifikanzniveau.

Tabelle A21. *Multiplere hierarchisches Regressionsmodell mit Ressourcen und Optimierung als Prädiktoren der Alterszufriedenheit (N = 156): 1. Schritt Ressourcenindikatoren, 2. Schritt Optimierung*

Prädiktor	$R^2 / \Delta R^2$	$F / \Delta F$	B	SE_B	β	p
Step 1	.20	9.62				.00
Demographische R.			-.04	.06	-.05	.50
Kognitive R.			.02	.08	.03	.76
Gesundheitliche R.			.38	.07	.42	.00
Soziale R.			-.01	.07	-.02	.85
Step 2	.04	7.73				.006
Optimierung			.07	.02	.21	.006
Gesamtmodell	Cum $R^2 = .24$	$F_{(5, 150)} = 9.59$	$p = .00$			

Anmerkung. $R^2 / \Delta R^2$: Determinationskoeffizient bzw. seine Veränderung; $F / \Delta F$: zugehöriger F -Test; B : unstandardisierter Regressionskoeffizient; SE_B : zugehöriger Standardfehler; β : standardisierter Regressionskoeffizient simultaner Analyse; p : exaktes Signifikanzniveau.

Tabelle A22. *Multiplere hierarchisches Regressionsmodell mit Ressourcen und SOC als Prädiktoren der Alterszufriedenheit (N = 156): 1. Schritt gesundheitliche Ressourcen, Optimierung, 2. Schritt demographische, kognitive, soziale Ressourcen, elektive Selektion, verlustbasierte Selektion und Kompensation*

Prädiktor	$R^2 / \Delta R^2$	$F / \Delta F$	B	SE_B	β	p
Step 1	.24	24.13				.00
Gesundheitliche R.			.40	.07	.43	.00
Optimierung			.06	.03	.21	.02
Step 2	.02	.62				.71
Demographische R.			-.03	.06	-.03	.67
Kognitive R.			.01	.08	.02	.86
Soziale R.			-.01	.08	-.01	.86
Elektive S.			.02	.08	.05	.43
Verlustbasierte S.			.02	.03	.08	.39
Kompensation			-.04	.03	-.14	.10
Gesamtmodell	Cum $R^2 = .26$	$F_{(8, 147)} = 6.41$	$p = .00$			

Anmerkung. $R^2 / \Delta R^2$: Determinationskoeffizient bzw. seine Veränderung; $F / \Delta F$: zugehöriger F -Test; B : unstandardisierter Regressionskoeffizient; SE_B : zugehöriger Standardfehler; β : standardisierter Regressionskoeffizient simultaner Analyse; p : exaktes Signifikanzniveau.

Tabelle A23. *Hierarchisches Regressionsmodell mit elektiver Selektion, Ressourcen und ihrer Interaktion als Prädiktoren der Alterszufriedenheit (N = 156)*

Prädiktor	<i>B</i>	<i>SE_B</i>	β	<i>p</i>
Step 1				
Elektive Selektion	.04	.02	.12	.11
Ressourcen	.35	.08	.32	.00
Step 2				
Elektive S. × Ressourcen	.01	.03	.01	.86
Gesamtmodell	Cum $R^2 = .11$ $F_{(3,152)} = 6.40$ $p = .001$			

Anmerkung. $R^2 = .11$ ($p < .001$) für Analyseschritt 1; $\Delta R^2 = .00$ ($p > .80$) für Analyseschritt 2; *B*: unstandardisierter Regressionskoeffizient; *SE_B*: zugehöriger Standardfehler; β : standardisierter Regressionskoeffizient simultaner Analyse; *p*: exaktes Signifikanzniveau.

Tabelle A24. *Hierarchisches Regressionsmodell mit Optimierung, Ressourcen und ihrer Interaktion als Prädiktoren der Alterszufriedenheit (N = 156)*

Prädiktor	<i>B</i>	<i>SE_B</i>	β	<i>p</i>
Step 1				
Optimierung	.06	.02	.20	.01
Ressourcen	.28	.08	.27	.00
Step 2				
Optimierung × Ressourcen	-.01	.03	-.03	.67
Gesamtmodell	Cum $R^2 = .13$ $F_{(3,152)} = 7.81$ $p = .001$			

Anmerkung. $R^2 = .13$ ($p < .001$) für Analyseschritt 1; $\Delta R^2 = .00$ ($p > .60$) für Analyseschritt 2; *B*: unstandardisierter Regressionskoeffizient; *SE_B*: zugehöriger Standardfehler; β : standardisierter Regressionskoeffizient simultaner Analyse; *p*: exaktes Signifikanzniveau.

Tabelle A25. *Hierarchisches Regressionsmodell mit Kompensation, Ressourcen und ihrer Interaktion als Prädiktoren der Alterszufriedenheit (N = 156)*

Prädiktor	<i>B</i>	<i>SE_B</i>	β	<i>p</i>
Step 1				
Kompensation	.00	.02	.01	.86
Ressourcen	.33	.08	.30	.00
Step 2				
Kompensation × Ressourcen	-.05	.03	-.11	.17
Gesamtmodell	Cum $R^2 = .11$ $F_{(3,152)} = 6.12$, $p = .001$			

Anmerkung. $R^2 = .10$ ($p < .001$) für Analyseschritt 1; $\Delta R^2 = .01$ ($p = .17$) für Analyseschritt 2; *B*: unstandardisierter Regressionskoeffizient; *SE_B*: zugehöriger Standardfehler; β : standardisierter Regressionskoeffizient simultaner Analyse; *p*: exaktes Signifikanzniveau.

Tabelle A26. *Hierarchisches Regressionsmodell mit verlustbasierter Selektion, Ressourcen und ihrer Interaktion als Prädiktoren der Alterszufriedenheit (N = 156)*

Prädiktor	<i>B</i>	<i>SE_B</i>	β	<i>p</i>
Step 1				
Verlustbasierte Selektion	.03	.02	.11	.15
Ressourcen	.31	.08	.29	.00
Step 2				
Verlustb. S. × Ressourcen	-.06	.04	-.13	.096
Gesamtmodell	Cum $R^2 = .13$ $F_{(3,152)} = 7.35$, $p = .001$			

Anmerkung. $R^2 = .11$ ($p < .001$) für Analyseschritt 1; $\Delta R^2 = .02$ ($p = .096$) für Analyseschritt 2; *B*: unstandardisierter Regressionskoeffizient; *SE_B*: zugehöriger Standardfehler; β : standardisierter Regressionskoeffizient simultaner Analyse; *p*: exaktes Signifikanzniveau.

A5. Kontrollanalyse

A5.1 Kommt die Interaktion zwischen Ressourcen und Lebensmanagementstrategien zustande, weil subjektive Gesundheit Teil der Ressourcen ist?

Bei der Auswahl der Ressourcen waren überwiegend objektive Ressourcenindikatoren vorgezogen worden, um eine Überschneidung zu Lebensmanagementstrategien und Alterszufriedenheit ausschließen zu können. Allerdings waren zusätzlich zu den klinischen Gleichgewichts- bzw. Balancemaßen zwei Indikatoren subjektiver Gesundheit, der aktuelle Gesundheitsstatus und der temporal vergleichende Gesundheitsstatus, verwendet worden. In den nun folgenden Kontrollanalysen wurde untersucht, ob der Ausschluss der subjektiven Gesundheit zu denselben Ergebnissen, also einer statistisch bedeutsamen Interaktion zwischen Ressourcen und SOC-Strategien bei den alten Alten, führte. Die vorangestellte Prüfung der Dreifachinteraktion zwischen Ressourcen, SOC und Altergruppe ergab, dass auch ohne Verwendung der subjektiven Ressourcen eine signifikante Dreifachinteraktion bestand ($\Delta R^2 = .03$, $\Delta F_{(1, 148)} = 4.85$, $\beta = -.55$, $p < .05$). Die statistische Relevanz des Dreifachinteraktionsterms war mit einem Betagewicht von $-.55$ ($p = .03$) sogar größer als in den Analysen, in denen die subjektive Gesundheit Teil des Ressourcencomposites war. Die anschließenden Analysen für die Gruppe der alten Alten ergab ebenfalls, dass der Effekt der Interaktion zwischen Ressourcen und SOC mit den vorherigen Resultaten vergleichbar, wenn nicht sogar etwas deutlicher ausgeprägt war als bei der Verwendung des vollständigen Ressourcencomposites ($\Delta R^2 = .06$, $\Delta F_{(1, 72)} = 5.04$, $\beta = -.25$, $p < .05$; Tabelle A27).

Tabelle A27. Hierarchisches Regressionsmodell mit um subjektive Gesundheit reduzierte Ressourcen, SOC und ihrer Interaktion als Prädiktoren der Alterszufriedenheit der alten Alten ($n = 76$).

Prädiktor	<i>B</i>	<i>SE_B</i>	β	<i>p</i>
Step 1				
SOC	.08	.12	.07	.51
Ressourcen (reduziert)	.31	.13	.27	.02
Step 2				
SOC × Ressourcen	-.42	.19	-.25	.03
Gesamtmodell	Cum $R^2 = .13$	$F_{(3, 72)} = 3.51$	$p = .02$	

Anmerkung. $R^2 = .07$ ($p = .08$) für Analyseschritt 1; $\Delta R^2 = .06$ ($p = .03$) für Analyseschritt 2; *B*: unstandardisierter Regressionskoeffizient; *SE_B*: zugehöriger Standardfehler; β : standardisierter Regressionskoeffizient simultaner Analyse; *p*: exaktes Signifikanzniveau.

A6. Weitere Angaben zu Regressionsanalysen (Teil 2)

Tabelle A28. *Multiplere hierarchisches Regressionsmodell zur Prüfung einer Dreifachinteraktion zwischen Ressourcen, elektiver Selektion und Altersgruppe in der Vorhersage der Alterszufriedenheit (N = 156)*

Prädiktor	<i>B</i>	<i>SE_B</i>	β	<i>p</i>
Step 1				
Elektive Selektion	.15	.08	.51	.049
Ressourcen	.38	.29	.35	.20
Altersgruppe	.09	.12	.06	.47
Step 2				
Elektive S. × Ressourcen	.06	.12	.13	.62
Ressourcen × Altersgruppe	.01	.19	.02	.95
Elektive S. × Altersgruppe	-.09	.05	-.44	.10
Step 3				
Elektive S. × Ressourcen × Altersgruppe	-.06	.08	-.19	.49
Gesamtmodell Cum $R^2 = .13$ $F_{(7,148)} = 3.18$ $p = .00$				

Anmerkung. $R^2 = .11$ ($p < .001$) für Analyseschritt 1; $\Delta R^2 = .01$ ($p > .40$) für Analyseschritt 2; $\Delta R^2 = .00$ ($p > .40$) für Analyseschritt 3; *B*: unstandardisierter Regressionskoeffizient; *SE_B*: zugehöriger Standardfehler; β : standardisierter Regressionskoeffizient simultaner Analyse; *p*: exaktes Signifikanzniveau.

Tabelle A29. *Multiplere hierarchisches Regressionsmodell zur Prüfung einer Dreifachinteraktion zwischen Ressourcen, verlustbasierter Selektion und Altersgruppe in der Vorhersage der Alterszufriedenheit (N = 156)*

Prädiktor	<i>B</i>	<i>SE_B</i>	β	<i>p</i>
Step 1				
Verlustbasierte Selektion	.11	.08	.35	.17
Ressourcen	.25	.30	.23	.40
Altersgruppe	.10	.12	.07	.43
Step 2				
Verlustbasierte S. × Ressourcen	.14	.13	.28	.29
Ressourcen × Altersgruppe	.05	.18	.07	.78
Verlustbasierte S. × Altersgruppe	-.06	.05	-.30	.25
Step 3				
Verlustbasierte S. × Ressourcen × Altersgruppe	-.13	.08	-.45	.09
Gesamtmodell Cum $R^2 = .15$ $F_{(7,148)} = 3.79$ $p = .00$				

Anmerkung. $R^2 = .11$ ($p < .001$) für Analyseschritt 1; $\Delta R^2 = .02$ ($p > .20$) für Analyseschritt 2; $\Delta R^2 = .02$ ($p < .10$) für Analyseschritt 3; *B*: unstandardisierter Regressionskoeffizient; *SE_B*: zugehöriger Standardfehler; β : standardisierter Regressionskoeffizient simultaner Analyse; *p*: exaktes Signifikanzniveau.

Tabelle A30. *Hierarchisches Regressionsmodell mit verlustbasierter Selektion, Ressourcen und ihrer Interaktion als Prädiktoren der Alterszufriedenheit der jungen-alten Personen (n = 80)*

Prädiktor	<i>B</i>	<i>SE_B</i>	β	<i>p</i>
Step 1				
Verlustbasierte Selektion	.05	.03	.17	.13
Ressourcen	.30	.13	.26	.02
Step 1				
Verlustb. S. × Ressourcen	.00	.06	.01	.96
Gesamtmodell	Cum $R^2 = .13$ $F_{(3,76)} = 3.69$ $p = .02$			
<i>Anmerkung.</i> $R^2 = .13$ ($p < .01$) für Analyseschritt 1; $\Delta R^2 = .00$ ($p > .90$) für Analyseschritt 2; <i>B</i> : unstandardisierter Regressionskoeffizient; <i>SE_B</i> : zugehöriger Standardfehler; β : standardisierter Regressionskoeffizient simultaner Analyse; <i>p</i> : exaktes Signifikanzniveau.				

Tabelle A31. *Hierarchisches Regressionsmodell mit verlustbasierter Selektion, Ressourcen und ihrer Interaktion als Prädiktoren der Alterszufriedenheit der alten-alten Personen (n = 76)*

Prädiktor	<i>B</i>	<i>SE_B</i>	β	<i>p</i>
Step 1				
Verlustbasierte Selektion	.03	.03	.08	.45
Ressourcen	.34	.13	.29	.009
Step 2				
Verlust. S. × Ressourcen	-.16	.05	-.27	.02
Gesamtmodell	Cum $R^2 = .17$ $F_{(3,72)} = 4.82$ $p = .004$			
<i>Anmerkung.</i> $R^2 = .10$ ($p < .05$) für Analyseschritt 1; $\Delta R^2 = .07$ ($p < .05$) für Analyseschritt 2; <i>B</i> : unstandardisierter Regressionskoeffizient; <i>SE_B</i> : zugehöriger Standardfehler; β : standardisierter Regressionskoeffizient simultaner Analyse; <i>p</i> : exaktes Signifikanzniveau.				

Tabelle A32. *Multiplere hierarchisches Regressionsmodell zur Prüfung einer Dreifachinteraktion zwischen Ressourcen, Optimierung und Altersgruppe in der Vorhersage der Alterszufriedenheit (N = 156)*

Prädiktor	<i>B</i>	<i>SE_B</i>	β	<i>p</i>
Step 1				
Optimierung	.19	.08	.63	.015
Ressourcen	.15	.29	.14	.60
Altersgruppe	.14	.12	.10	.24
Step 2				
Optimierung × Ressourcen	.18	.12	.40	.13
Ressourcen × Altersgruppe	.13	.18	.20	.47
Optimierung × Altersgruppe	-.11	.05	-.54	.04
Step 3				
Optimierung × Ressourcen × Altersgruppe	-.15	.07	-.54	.047
Gesamtmodell	Cum $R^2 = .18$ $F_{(7,148)} = 4.59$ $p = .00$			
<i>Anmerkung.</i> $R^2 = .13$ ($p < .001$) für Analyseschritt 1; $\Delta R^2 = .02$ ($p > .20$) für Analyseschritt 2; $\Delta R^2 = .02$ ($p < .05$) für Analyseschritt 3; <i>B</i> : unstandardisierter Regressionskoeffizient; <i>SE_B</i> : zugehöriger Standardfehler; β : standardisierter Regressionskoeffizient simultaner Analyse; <i>p</i> : exaktes Signifikanzniveau.				

Tabelle A33. *Hierarchisches Regressionsmodell mit Optimierung, Ressourcen und ihrer Interaktion als Prädiktoren der Alterszufriedenheit der jungen-alten Personen (n = 80)*

Prädiktor	<i>B</i>	<i>SE_B</i>	β	<i>p</i>
Step 1				
Optimierung	.09	.03	.33	.002
Ressourcen	.28	.12	.25	.02
Step 2				
Optimierung × Res.	.03	.05	.07	.50
Gesamtmodell	Cum $R^2 = .21$ $F_{(3,76)} = 6.60$ $p = .00$			

Anmerkung. $R^2 = .20$ ($p < .001$) für Analyseschritt 1; $\Delta R^2 = .00$ ($p > .40$) für Analyseschritt 2; *B*: unstandardisierter Regressionskoeffizient; *SE_B*: zugehöriger Standardfehler; β : standardisierter Regressionskoeffizient simultaner Analyse; *p*: exaktes Signifikanzniveau.

Tabelle A34. *Hierarchisches Regressionsmodell mit Optimierung, Ressourcen und ihrer Interaktion als Prädiktoren der Alterszufriedenheit der alten-alten Personen (n = 76)*

Prädiktor	<i>B</i>	<i>SE_B</i>	β	<i>p</i>
Step 1				
Optimierung	.00	.04	.01	.92
Ressourcen	.41	.14	.35	.005
Step 2				
Optimierung × Ressourcen	-.11	.05	-.24	.04
Gesamtmodell	Cum $R^2 = .15$ $F_{(3,72)} = 4.14$ $p = .009$			

Anmerkung. $R^2 = .09$ ($p < .05$) für Analyseschritt 1; $\Delta R^2 = .05$ ($p < .05$) für Analyseschritt 2; *B*: unstandardisierter Regressionskoeffizient; *SE_B*: zugehöriger Standardfehler; β : standardisierter Regressionskoeffizient simultaner Analyse; *p*: exaktes Signifikanzniveau.

Tabelle A35. *Multiples hierarchisches Regressionsmodell zur Prüfung einer Dreifachinteraktion zwischen Ressourcen, Kompensation und Altersgruppe in der Vorhersage der Alterszufriedenheit (N = 156)*

Prädiktor	<i>B</i>	<i>SE_B</i>	β	<i>p</i>
Step 1				
Kompensation	-.02	.08	-.08	.78
Ressourcen	.43	.30	.40	.16
Altersgruppe	.07	.12	.05	.58
Step 2				
Kompensation × Ressourcen	-.04	.12	-.09	.76
Ressourcen × Altersgruppe	-.05	.19	-.08	.78
Kompensation × Altersgruppe	.02	.05	.09	.75
Step 3				
Kompensation × Ressourcen × Altersgruppe	.00	.07	-.01	.98
Gesamtmodell	Cum $R^2 = .11$ $F_{(7,148)} = 2.62$ $p = .01$			

Anmerkung. $R^2 = .10$ ($p < .01$) für Analyseschritt 1; $\Delta R^2 = .01$ ($p > .60$) für Analyseschritt 2; $\Delta R^2 = .00$ ($p < .98$) für Analyseschritt 3; *B*: unstandardisierter Regressionskoeffizient; *SE_B*: zugehöriger Standardfehler; β : standardisierter Regressionskoeffizient simultaner Analyse; *p*: exaktes Signifikanzniveau.